

多次元 壓密의 數值解折과 그適用에 관한 考察  
Numerical Analysis of Multidimensional Consolidation  
and its Adoption

全南大學校 工科大學 教授 朴炳基  
丹光大學校 工科大學 助教授 鄭鎮燮

## 1 序論

軟弱地盤上의 構造物의 地下解折에 있어서 粘土层의 두께에 비하여 充分히 높지 않은 荷重이 載荷될때는 壓密이 2次元 또는 3次元的으로 考慮하려라는 것은 壓密理論 初期부터 論證되어온 것이다.

그러나 理論解折이 어렵고 境界條件가 特殊한 경우를 除하고는 그解를 求할수 亂으로 지금까지 荷重載荷時의 初期退漬向陳水FE이 弹性体에 部分載荷時 垂直応力의 分布와 같다고 보아 Boussinesq의 理論을 通用하고 排水도 錄適方向으로만 가정하여 各类의 地下量을 計算하였다.

또 粘土层에 堤防을 建築할때 一次元的 계들은 드물고 側方流動을 포함한 非線形压密(非線形压密)이 일어나고 있기때문에 一次元的压密解折으로 이러한 現象을 解明할수가 없다.

한편 Rendulic (1935年)은 Terzaghi의 一次元压密理論을 三次元에 拡張하여 다음과 같은 压密方程式을 提案하였다.

$$\frac{\partial u}{\partial t} = C_v \left( \frac{\partial^2 u}{\partial x^2} + \frac{\partial^2 u}{\partial y^2} + \frac{\partial^2 u}{\partial z^2} \right)$$

만일 式에서  $C_v \approx C_v = \frac{k}{m_v \gamma_w}$  가 아니고 一般的으로  $C_v = \frac{k}{\gamma_w f(x,y,z)}$  라 하였다.

即  $f(x,y,z)$ 는 3次元的有效応力의 变化와 이것에 对应하는 Volumetric Strain에 대하여 是解する函數로

$$f(x,y,z) = \frac{1}{1+\epsilon_0} \left( \frac{\partial \epsilon}{\partial \sigma_x} + \frac{\partial \epsilon}{\partial \sigma_y} + \frac{\partial \epsilon}{\partial \sigma_z} \right)$$

이며  $\epsilon = \epsilon_x + \epsilon_y + \epsilon_z$  이다.

Terzaghi 는 (v 를) 一連值라고 가정하는데 그에 3次元으로 指揮할 때에는  
元力에 따라 흙력을 算出할 것이다.

이와 같은 事例의 解答 論解하기 하고 土体의 連續性을 充分히  
證明하기 못한 대로 것이 周知의 事實이다.

이어서 다르게 Biot は 対称가의 未知數로 하여 之要素의 平衡式을  
中心으로 連續條件 또는 聯立하여 다음과 같은 支配方程式을 만들었다.

$$\frac{1}{1-2\nu} \operatorname{grad} \epsilon + u \nabla^2 u + \operatorname{grad} u = C \quad (\text{平衡方程式})$$

$$\frac{\partial \epsilon}{\partial t} = -\frac{k}{K} \nabla^2 u \quad (\text{連續方程式})$$

이或是 理論적으로는 压縮의 mechanism을 充分히 說明하고 있으면  
支配方程式이 과정간극수압과 度值을 未知數로 한 聯立偏微分  
方程式이 되기 때문에 正解를 求하기가 어렵다.

그러나 1960 年代 後半以降 Computer의 大型화와 數值解析法  
의 快速한 開発으로 Biot의 压縮方程式에 의한複雜但한 境界值  
의 1D 解析解이 可能해짐에 따라 逐次적 压縮의 解析이  
큰 進展을 거쳤다.

한편, 应力-應形率關係式的 確立를 目標로 一連의 解析  
이후에 過去의 使用로인 弹性 model로는 흙의 考慮을 잘  
하지 않는 应力-應形率關係式이 提案되었다.

그 중에서 Roscoe 놓의 Cam-clay 理論은 比較的 간단한 式으로서  
粘土의 特性이 明確하게 表述되고 있다.

또 最近에는 Creep 나 应力緩和等 時間效果를 포함한 粘塑性 model  
에 대한 構成式도 Sekiguchi 등에 의하여 提案되었다.

그結果 過去에는 压縮理論과 应力-應形率理論이 별개로 癒連하여  
오다가 이 两者를 結合한 應形解析이 70年代 后半以来 現在까지  
많은 進展을 거듭하고 있다.

現在까지 提亲元 構成方程式과 有限要素法의 發達過程은  
本根括號에 대응해 같다.  
이제 世界의 인 후세로 보아 压縮理論의 解析段階을 뛰어넘어  
現實問題에 应用하기에 적으로 판성이 集中된다고 말 할 수 있다.

Table-1

Historical Review Of Constitutive Equations

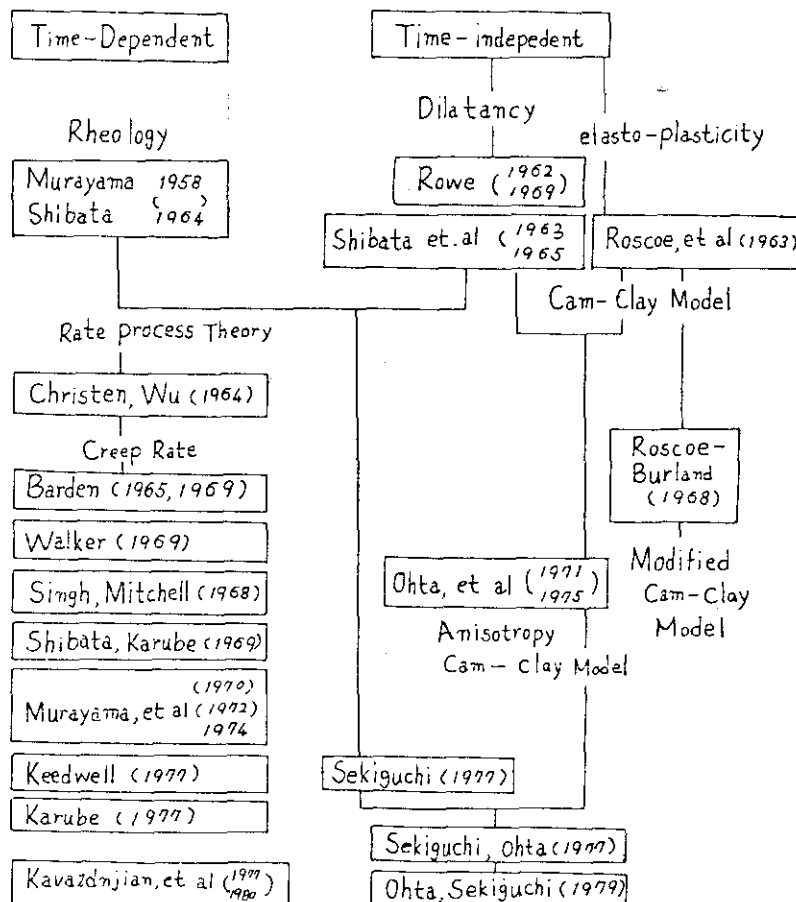
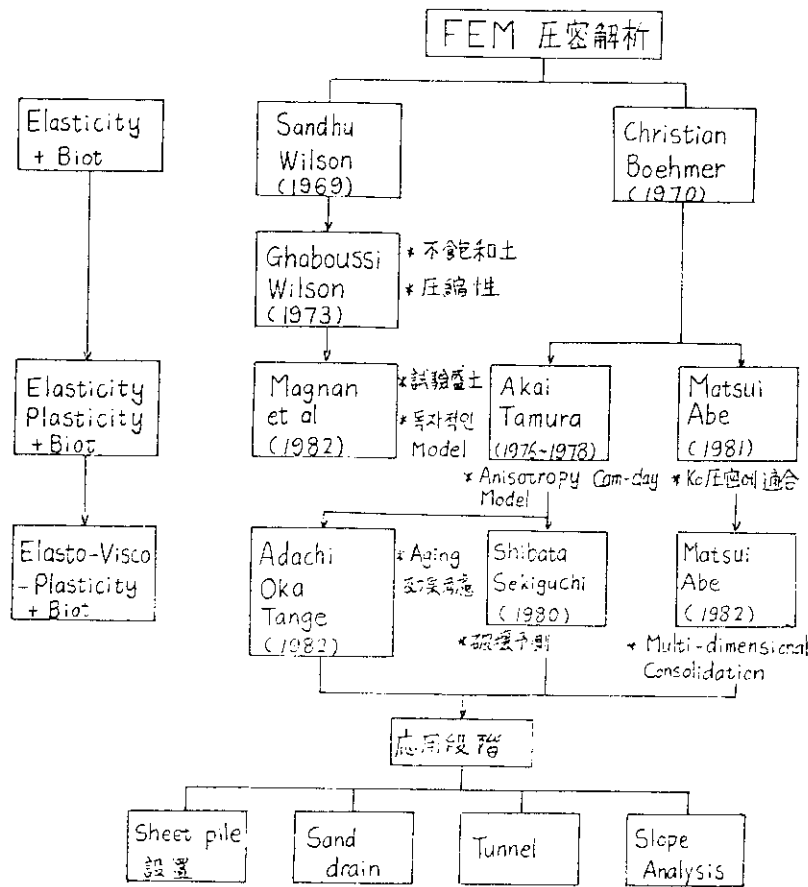


Table-2

## FEM에 의한 壓密解析의 發展過程



## 2 应力-变形率関係式

実際地盤은 흙의 堆積過程에서 非等方性和 弹塑性, 塑性을 가지며 压密過程中의 土質媒介変數变化, 粘土 모래등 여러種類의 흙의 存在により에 따른 上載荷重이나 先行压密荷重의 増化, 堆積時間에 따른 地盤層의 aging效果等을 反映할 수 있도록 여러種類의 model이 提案되었다.

### 2-1 弹性 model

#### 2.1.1 線型彈性 model

Sand 및 盛土层의 같이 不飽和土의 使用되는 model로는 土質是數인 G, C를 用いて서

#### 2.1.2 非線型彈性 model

压密過程中의 Work-hardening에 의한 Lame定數 L, G>r 종류의 実驗結果를 參照하여 다른式과 같이 調化되는 土質媒介變數를 使用한다.

$$L = \frac{P(1+\epsilon_0)}{k} - \frac{2}{3}G$$

$$G = G_0 \exp\left(-\frac{\epsilon-\epsilon_0}{\lambda}\right) \quad (1)$$

#### 2.1.3 線型彈性 model (c-c-φ土에 適用)

Sheet pile or 壁体破壊狀態를 判斷할 수 있는 Mohr-Coulomb의 破壊規準을 使用하는 경우

### 2-2 弹塑性 model

#### 2.2.1 original Cam-clay model

Roscoe等의 original Cam-clay model은 흙의 等方等質의 假定하에 흙의 壓密過程中의 계속적인 降伏이 일어나고 降伏軌跡는 T形線이나 引張이나 혹은 같은 形態로 解釋된다.

지금 까지 压密된 試験기具가 真正에 있으면 非排水剪試験에서

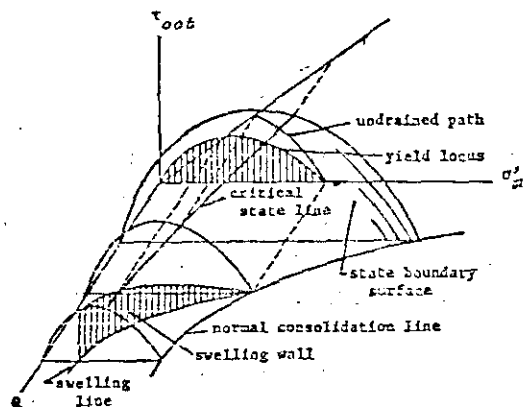


Fig. 1 state surface.

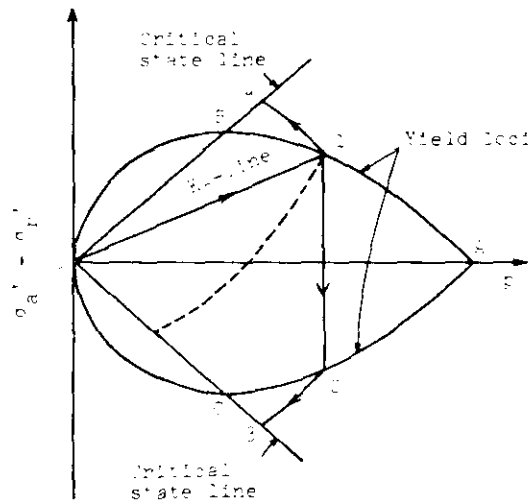


Fig. 2 Yield loci showing isotropic strain-hardening

引張側면 非排水応力経路는 1에서 2로 될 것이다. 따라서  $P$ 는 一貫한 값이 되어야 한다. 1-2는 아른바 張り性過程에서의 거동이고 다시 非排水応力경로는 2-3曲線을辿는 階段性大體인 3-4에 到達한다.

한편 壓縮側面에서 非排水応力経路는 3-4로 予想되는 有効応力経路는 1-2가 될 것이다.

이結果 1-4와 2-3은  $P$ 軸에 沿って 斜線이다.

그리고 3-4는 引張結果는 引張側면에서 非排水応力経路는 1-2-3라는 아주 다른 形態를 가는 形態이다.

이것은  $K_0$  压密過程에서 肘尖한 측의 非排水応力を考慮하지 않음 때문이다. 다음에 説明하는 Anisotropic Cam-clay model에서는  $OMta$  측에 대해서 非排水応力を 使用할 수 있다. 그러나

$K_0$ -压密粘土에 있어서 壓縮側면 形態硬化解를 가정하게 되어 어려움이 있으므로 dilatancy에 대한 前述처럼 逆轉의 効果를 考慮하기 때문에 肘尖한 것이라고 믿어진다.

여기서 dilatancy는  $P$ 가 一貫狀態의 荷重 아래에서 일어나는 体積變化라고 是義된다.

여기서 말한 Anisotropic Cam-clay model은 이效果를 考慮한上で 試圖하였다.

우선 다음을 假定한다

active loading 아래에서

$$\delta v = \mu \delta (\sigma_{act}/p)$$

-(2)

여기서  $\sigma_{act}/p$ 는 初期值로 부터 增加된다

또 passive loading 아래에서는

$$\delta v = -\mu \delta (\sigma_{act}/p)$$

-(3)

여기서  $\sigma_{act}/p$ 는 初期值에서 처음에 減少된다

만  $\delta$ 는 物理量의 增分을 意味하고  $\nu$ 는 体積率,  $\mu$ 는  
材料定数이다  $\sigma_{act}$ 는

$$\sigma_{act} = \sqrt{\frac{1}{3} S_{ij} S_{ij}} = (\sqrt{3}) \cdot q$$

-(4)

로 定義되는 八面體剪斷应力이다.

여기서  $S_{ij}$ 는 索元力 Tensor ( $i, j$ ) 成分이며  $q$ 는  $\sigma_{act}$  대应이  
다음에 使用되는 索元力媒介量이다.

單調增加하는 荷重을 받고 있는 等方压缩粘土에서는 式(2)로 부터 유도된다.  
実験으로 立證된 바는 等方压缩粘土에서도 剪斷方向의 緊化 (例)를  
들면 三軸圧縮試驗으로부터 三軸引張 (또는 그逆)은 dilatancy가  
증가되 일어나는 수 있도록 허용된다.反而에 이 경우에서도  $\sigma_{act}/p$ 는 減少된다.

그러나 式(2)에는 결합이 있다.

결합을 높이기 위해서 Fig 2에서 算出으로 나온 것처럼.

Ko-Faust粘土에서 典型적인 三軸引張試驗에서 非排水应力經路을  
생각해보자.

Anisotropic Cam-Clay model로 부터 推定하는 推定은

$$\sigma_{act}/p = K \ln(\frac{p}{p_0})$$

-(5)

이다 예시  $K, \epsilon_0, p_0$ 은 각각 (一般的으로 非塑性인) 土壤의  
完全時의  $\sigma_{act}/p$ 의 比, 剪隙比, 平均有效应力  $p_0$ 의 比이며  $K$ 는  
屈強指數  $C_c$ 의 0.434倍이다

$T_{ijg}$  2의 檢驗에서 알 수 있는 바와 같이  $(\bar{\sigma}_i - \bar{\sigma}_j)/\rho$  이 네 와

平均有效元力  $\bar{\sigma}$  는 引張側의 異形率과 함께 減少한다

따라서 式(5)의 左邊은 單調롭게 減少하되式(5)의 右邊의 경계는  
다르다  $\bar{\sigma}_i = \bar{\sigma}_j$  이 狀態로 남을 때까지 式(5)의 左邊의 값은 減少한다.

그러나 그 외에는 左邊은  $T_{ijg}$ 의 是義때문에 增加한다

이 어려움은 피하기 위하여  $\bar{\sigma}_i = \bar{\sigma}_j$  的 狀態가 到達한 후에 引張側에  
Negative  $T_{ijg}$ 를 仮定한다.

그러나 이 是義는 그러면 前述한 所有하는 物理的 狀態가  
 $\bar{\sigma}_i > \bar{\sigma}_j$  이 狀態로 부터  $\bar{\sigma}_i < \bar{\sigma}_j$  가 되는 狀態로 계속적으로 轉化되고  
본래의기 때문에 人為의이다

따라서 非等方正規化粘土에 대한 새로운 式을 도렸다.

이는 廣泛方의 逆轉이 포함된 경우에서도 滿足되어야 한다

有效元力函數로써 伸縮異形率에 관해서 記述하여 본다.

우선 새로운 元力 parameter  $\gamma^*$  를導入하자

$$\text{이는 } \gamma^* = \sqrt{\frac{1}{2} (\bar{n}_{ij} - \bar{n}_{ij_0})(\bar{n}_{ij} - \bar{n}_{ij_0})} \quad (6)$$

이며 여기서  $\bar{n}_{ij} = \frac{s_{ij}}{P}$ ,  $\bar{n}_{ij_0} = \frac{s_{ij_0}}{P_0}$  — (7)

이다. 여기서  $\bar{n}_{ij}$ 는 元力-規準化된 差元力 Tensor ( $i, j$ ) 成分  
이고  $\bar{n}_{ij_0}$ 는 非等方正規化した 때의  $n_{ij}$ 의 값이다.

是義에 의해 元力 parameter  $\gamma^*$ 는 非等方이다.

따라 非等方正規化粘土의 dilatancy는 다음과 같이  $\gamma^*$ 에 2차으로  
비례한다고 仮定한다.

$$v = D \gamma^* \quad (8)$$

여기서  $D$ 는 dilatancy係數이다. 等方正規化 三軸試驗에서의는  
式(8)은 shibata (1963)가 提出한 式으로 된다.

$$D = \frac{1-k}{n(Hg)} \quad (9)$$

式(8)의 線性인 減少, 하지 않는 (non-decreasing) dilatancy가 差元力

의 初期值로 부터이 어려운 쪽에서도 풀수하지 않는다는 것은重要な 것이다.

더욱 全体積變化는  $P$ 의 作用과 dilatancy로 부터由來되는 쪽의  
变化로 가정한다.

$$\text{即 } V = \frac{\lambda}{1+\epsilon_0} \ln\left(\frac{P}{P_0}\right) + D \cdot \gamma^* \quad (9)$$

式(9)의 풀계산에 대한 檢討로써 非排水荷載元力、經路を

$$\gamma^* = -\frac{\lambda}{D(1+\epsilon_0)} \ln\left(\frac{P}{P_0}\right) \quad (10)$$

를 使用하여 計算된다.

또 全體積変形率  $V$ 는 式(9)와 같이 表示되었으므로

$V$ 의 弹性成分은

$$V^e = \frac{k}{1+\epsilon_0} \ln\left(\frac{P}{P_0}\right) \quad (11)$$

그러므로  $V$ 의 塑性成分은 다음과 같다.

$$V^p = \frac{\lambda-k}{1+\epsilon_0} \ln\left(\frac{P}{P_0}\right) + D \cdot \gamma^* \quad (12)$$

2) plastic potential函數는 flow rule과 다음과 같이 같다

$$f = \frac{\lambda-k}{1+\epsilon_0} \ln\left(\frac{P}{P_0}\right) + D \cdot \gamma^* \quad (13)$$

2) 現在狀態의 Associated 降伏軌跡은 다음과 같이 假定하자

$$f = V^p \quad (14)$$

여기서  $V^p$ 는 소위 strain硬化媒介函數이고 式(12)으로 주어진다

式(14)는 非等方性을 끌어내는 힘에 대한 힘을 要素가 降伏狀態에 있는

것을 나타낸다.

$$\therefore f = V^p = 0 \text{ 이다}$$

Drucker (1951)의 associated flow rule에 의하면

$$\delta \dot{\epsilon}_{ij}^p = \Lambda \frac{\partial f}{\partial \sigma_{ij}} \quad (15)$$

여기서  $\delta \dot{\epsilon}_{ij}^p$ 는 塑性變形率增分 Tensor이다

$\Lambda$ 는 비例常数,  $\sigma_{ij}$ 는 有効应力 Tensor

2) 2 계류를 일반화시키면

$$S_u = P \sqrt{(\delta v P)^2 + (M \cdot \delta \epsilon P)^2} \quad \rightarrow (4)$$

$\sqrt{(\delta v P)^2 + (M \cdot \delta \epsilon P)^2}$ 은一般的한 理想塑形弹塑性 모형이요  
전塑形弹塑形 tensor  $d\epsilon^P$ 의 不变量이다

式(1)과 式(4)로 부터 다음과 같은 일정을 얻는다

$$\frac{dvP}{d\epsilon P} = \frac{M^2 - (\eta_p)^2}{2(\eta_p)} \quad \rightarrow (5)$$

(式(4)와 式(5))는 Original Cam-clay에서는  $S_u = P \cdot M \cdot S_w P$ ,

$$\frac{dvP}{d\epsilon P} = M - \frac{\eta}{P} \quad (단위)$$

式(5)의 normality condition은 通用准则

$$\frac{dvP}{d\epsilon P} = - \frac{d\eta}{dP} \quad \rightarrow (6)$$

式(5)와 式(6)으로 부터

$$\frac{d\eta}{dP} = - \frac{M^2 - (\eta_p)^2}{2(\eta_p)} \quad \rightarrow (7)$$

또한  $\eta = \frac{\eta}{P}$  이며  $\frac{d\eta}{dP} = d\eta \frac{P}{dP} + \eta$  이므로

$$\frac{dP}{P} = - \frac{2\eta}{M^2 + \eta^2} d\eta \quad \rightarrow (8)$$

式(8)을 积分하면

$$\ln(M^2 + \eta^2) + \ln P = \ln C \quad \rightarrow (9)$$

이제  $\eta = 0$  일 때  $P = P_0$  이므로 다음 式이 성립된다.

$$P_0 = P \left( \frac{(\eta_p)^2 + M^2}{M^2} \right) \quad \rightarrow (10)$$

式(10)이  $P$ 의 면에서 중심을  $\frac{P_0}{2}$ 로 갖는 椎円은 나타난다

이 대신에  $P$ 의 伏動曲率이며 式(10)은 降伏曲率와 같다

降伏曲率  $F$ 는 다음과 같이 쓸 수 있다

$$F = \eta^2 - M^2 P_0 P + M^2 P^2 = 0 \quad \rightarrow (11)$$

A값을決定하기 위하여

連續塑性形態에 대한條件 (Naghdi, 1960)를導入하면

$$df = SVP$$

—(16)

이 근거하여 다음과 같이 코다

$$\delta \varepsilon_{ij}^P = SVP (\frac{\partial}{\partial \eta} \delta \eta) / \partial f / \partial p$$

$$\text{여기서 } SVP = \frac{\lambda + k}{1 + e_0} \frac{\partial p}{p} + D \delta \eta^*$$

—(17)

彈性形率増分은 Anisotropic Cam-clay model에서  
다음과 같다

$$\delta \varepsilon_{ij}^P = \frac{k}{c_1 e_0} \frac{\partial p}{p} \delta \eta$$

結果적으로 全形率增분은 弹性과 塑性成分의 합으로  
다음과 같이 된다

$$\delta \varepsilon_{ij} = \delta \varepsilon_{ij}^P + \delta \varepsilon_{ij}^e$$

—(18)

### 2.2.2 Modified Cam-clay

等方連續체가 塑形하는 동안에

消散된 일의 増分量은 다음과 같다.

$$\delta w = P \cdot SVP + q SEP$$

$$= (\delta \eta \cdot \delta \varepsilon_{ij}^P) \quad —(1)$$

等方元가 (q=0) 아래시는 塑性形率이

원래 假想 (cl $\epsilon$ =0) Origin

hal Cam-clay model과는

다른 遷移에서 다음과 같은 式을

得す

等方元가으로 压縮하는 假想에서는

(1)式은 다음과 같이 된다

$$(\delta w)_{q=0} = P \cdot SVP \quad —(2)$$

또한 限界状態에서  $\frac{q}{P} = M$  이고  $SVP = 0$  이므로 式(1)을 다음과 같이 된다.

$$(\delta w)_{q=M} = P \cdot M SVP \quad —(3)$$

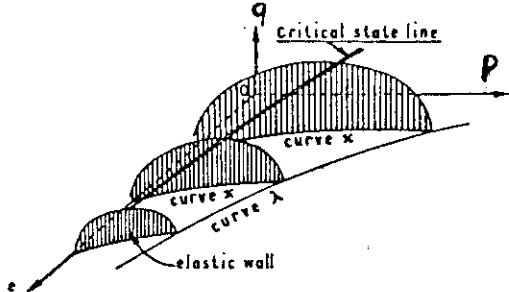


Fig. 3 - Limit state (yield) surface of modified Cam-clay model

$$\text{여기서 } q = \frac{3}{\sqrt{2}} \sigma_{xx} = \sqrt{3J_{2D}}$$

$$p = \frac{\sigma_{ii}}{3} = (\sigma_{11} + \sigma_{22} + \sigma_{33})/3$$

$$J_{2D} = \frac{1}{2} S_{ij} S_{ij}$$

$S_{ij}$  = 畫应力 Tensor

降伏函数 F는  $p$  &  $vP$  (塑性体積變形率)의 函數이므로  
全微分을 計算해보자

$$dF = \frac{\partial F}{\partial p} dp + \frac{\partial F}{\partial q} dq + \frac{\partial F}{\partial vP} dvP = 0 \quad (12)$$

를 求한다.

이것은  $dp$ 와  $dq$ 의 元力増加에 의하여  $dvP$ 라는 塑性体積變形率의  
加工硬化화의 元力狀態가 후속의 降伏曲面에 到達하는지를  
意味하고 있다.

그러서 3彈性 Matrix  $D^E$ 에 따른 元力増加와 3彈性變形率의 關係式은  
 $d\sigma_{ij} = D^E d\varepsilon_{ij}^E$  (13)

Associated flow rule or normality rule에 따른 塑性變形率  
vector의 方向을 고려한式

$$d\varepsilon_{ij}^P = \lambda A_{ij} \quad (14)$$

$$\text{여기서 } A_{ij} = \frac{\partial \Phi}{\partial p \partial \sigma_{ij}} + \frac{\partial \Phi}{\partial q \partial \sigma_{ij}}$$

$\Phi$  = plastic potential

降伏函数 F의 가울기는 다음과 같다.

$$B_{ij} = \frac{\partial F}{\partial p} \frac{\partial p}{\partial \sigma_{ij}} + \frac{\partial F}{\partial q} \frac{\partial q}{\partial \sigma_{ij}} \quad (15)$$

식(12)는 다음과 같이 쓸 수 있다.

$$dF = B_{ij} d\sigma_{ij} + \frac{\partial F}{\partial vP} dvP = 0 \quad (16)$$

$$d\varepsilon_{ij}^E = d\varepsilon_{ij} - d\varepsilon_{ij}^P \quad (17)$$

$$\therefore d\sigma_{ij} = C_{ijkl} (d\varepsilon_{kl} - d\varepsilon_{kl}^P) \quad (18)$$

여기서  $C_{ijkl}$ 은 3彈性變形率에 대한 構成法則이다

식(18)과 식(16)에 대응되는

$$\begin{aligned} dF &= B_{ij} C_{ijkl} (d\varepsilon_{kl} - d\varepsilon_{kp}) + \frac{\partial F}{\partial p} d\varepsilon p \\ &= B_{ij} C_{ijkl} (d\varepsilon_{kl} - \Lambda A_{kl}) + \frac{\partial F}{\partial p} \Lambda \frac{\partial h}{\partial p} = 0 \end{aligned} \quad \text{--- (19)}$$

$$(B_{ij} C_{ijkl} A_{kl} - \frac{\partial F}{\partial p} \frac{\partial h}{\partial p}) \Lambda = B_{ij} C_{ijkl} d\varepsilon_{kl}$$

$$\text{여기 } \Lambda = \frac{B_{ij} C_{ijkl} d\varepsilon_{kl}}{(B_{ij} C_{ijkl} - \frac{\partial F}{\partial p} \cdot \frac{\partial h}{\partial p})} \quad \text{--- (20)}$$

식(18)의 (19)와 식(20)은 같은 결과를 얻을 수 있다.

$$d\varepsilon_{ij} = \left\{ C_{ijrs} - \frac{C_{ijkl} A_{kl} B_{mn} C_{mnr}}{B_{mn} C_{mnr} A_{rs} - \frac{\partial F}{\partial p} \cdot \frac{\partial h}{\partial p}} \right\} d\varepsilon_{rs} \quad \text{--- (21)}$$

Associative plasticity의 특징은

$$G = F \text{ and } A_{ij} = B_{ij} \text{ 이므로}$$

Cam-clay model에서 적용하는

$$dv^e = \frac{k}{(1+\epsilon_0)} \frac{dp^e}{p^e} \quad \text{--- (22)}$$

$$dv = \frac{\lambda}{(1+\epsilon_0)} \frac{dp}{p} \quad \text{--- (23)}$$

$$dv^p = dv - dv^e = \frac{\lambda - k}{1+\epsilon_0} \frac{dp}{p} \quad \text{--- (24)}$$

식(24)로 부터

$$\frac{\partial p}{\partial p^p} = \frac{p_0(1+\epsilon_0)}{(\lambda - k)} \quad \text{--- (25)}$$

$$\therefore \frac{\partial h}{\partial p^p} = \frac{\partial F}{\partial p_0} \frac{\partial p_0}{\partial p^p} = \frac{\partial F p_0 (1+\epsilon_0)}{\partial p_0 (\lambda - k)} \quad \text{--- (26)}$$

associated flow rule에 따르면 식(20)은

$$\Lambda = \frac{A_{ij} C_{ijkl} d\varepsilon_{kl}}{A_{ij} C_{ijkl} A_{kl} - \Gamma A_{ij}} \quad \text{--- (27)}$$

$$\text{여기서 } \Gamma = \frac{\partial F}{\partial p_0} p_0 \frac{(1+\epsilon_0)}{(\lambda - k)}, \quad A_{ij} = \frac{\partial F}{\partial p}$$

## 2.3 弹粘塑性 model

粘土의 畫形이 時向에 의존한다는 것은 일찍부터 잘 알려진 事實이다.  
따라서 많은 研究가 進行되고 있으며 여러가지 力學 model이 提案되고  
있으며 그中에서 몇 가지 要素을 考察하면

a. Yong과 Jaeger의 速度变形率 速度實驗式

$$\dot{\gamma}_c(\varepsilon, \dot{\varepsilon}) = \dot{\gamma}_c(\varepsilon, \dot{\varepsilon}_c) + \alpha(\varepsilon) \log\left(\frac{\dot{\varepsilon}}{\dot{\varepsilon}_c}\right) \quad (1)$$

動的元→ 基底動的元力 過剩應力

b. Murayama의 应力緩和 実驗式

$$\sigma_R(\varepsilon, t) = \sigma_R(\varepsilon, t_0) - \beta(\varepsilon) \log\left(\frac{t}{t_0}\right) \quad (2)$$

c. Akai等의 実驗結果

$$\beta(\varepsilon_c) \approx \alpha(\varepsilon_c) \quad (3)$$

임을 밝혔고 우리는 粘土에서도 式(3)이 成立

d. Dilatancy model은 靜的인 性態와는 依存하나에서 세워진것이므로  
或小의 基底元→力矩에 依存한다고 보고

$$v = \frac{\lambda}{1+\varepsilon_0} \ln\left(\frac{P}{P_0}\right) + [F(n) - F(n_0)] \quad (4)$$

式(4)에 strain rate를 고려하면 体積變形率減少를 가져온다고  
보고 다음 式을 가정

$$v = \frac{\lambda}{1+\varepsilon_0} \ln\left(\frac{P}{P_0}\right) + [F(n) - F(n_0)] - \alpha \ln\left(\frac{\dot{v}}{\dot{v}_0}\right) \quad (5)$$

그런데 Sekiguchi(1977)는 体積 Creep 方程式 을 다음과 같이  
나타냈다.

$$v = \frac{\lambda}{1+\varepsilon_0} \ln\left(\frac{P}{P_0}\right) + D\left(\frac{\eta_0}{P} + \eta_0\right) - \alpha \cdot \ln\left(\frac{\dot{v}}{\dot{v}_0}\right) \quad (6)$$

여기서  $\eta_0$  :  $\frac{\eta}{P}$ 의 初期值

$\alpha$  : 2次圧縮指數

$\dot{v}$  : 体積變形率速度

$\dot{v}_0$  : 初期体積変形率速度

非塑性正規屈屈荷重을 取扱하기 위해서 가보다는  $\gamma^*$ 를 使用하기로 한다.

그러므로 式(6)은 다음과 같이 사용된다

$$V = \frac{\lambda}{1+\epsilon_0} \ln \left( \frac{P}{P_0} \right) + D \cdot \gamma^* - \alpha \cdot \ln \left( \frac{\dot{V}}{\dot{V}_0} \right) \quad -(7)$$

여기서 初期状態는 荷重이 達한直後の 弹性状態를 말하며 即荷重이  
変化하기 前에는 一定한 有効応力下에서 Creep를 일으키고 있다는 仮定의  
結果이다. 律令方程式(7)을 풀기위해서 荷重이 達한直後の 弹性状態의  
状態를 考慮할必要가 있다.

그리하여 여기서 荷重이 達한直後の 弹性状態이며 다음式으로 한다면  
假定이다

$$V^e = \frac{k}{1+\epsilon_0} \ln \left( \frac{P}{P_0} \right) \quad -(8)$$

3弹性体積変形率(8)의 全体積変形率을 뺀다면 다음式이 구해진다.

$$V^p = V - V^e = \frac{\lambda - k}{1+\epsilon_0} \ln \left( \frac{P}{P_0} \right) + D \cdot \gamma^* - \alpha \cdot \ln \left( \frac{\dot{V}}{\dot{V}_0} \right) \quad -(9)$$

式(9)는 t에 만족하는 풀기위하여 다음과 같이 变形한다

$$V^p = f - \alpha \ln \left( \frac{\dot{V}}{\dot{V}_0} \right) \quad -(10)$$

여기서  $f = \frac{\lambda - k}{1+\epsilon_0} \ln \left( \frac{P}{P_0} \right) + D \gamma^*$  이고  
Scalar 函数이다

式(10)는 다음과 같이 变形할 수 있다.

$$\frac{dV^p}{dt} = \ln \frac{\dot{V}}{\dot{V}_0} \quad -(11)$$

$$\frac{dV}{dt} = \dot{V}_0 e^{\frac{f-V^p}{\alpha}} = \dot{V}_0 (e^{\frac{f}{\alpha}}) / e^{\left( \frac{V^p}{\alpha} \right)} \quad -(12)$$

$$\frac{dV^e}{dt} = c \quad \text{이므로}$$

$$\frac{V^p}{\alpha} \frac{dV^p}{dt} = \dot{V}_0 e^{\left( \frac{f}{\alpha} \right)} \quad -(13)$$

$$e^{\left( \frac{f}{\alpha} \right)} \frac{dV^p}{dt} = \dot{V}_0 e^{\left( \frac{f}{\alpha} \right)} \quad -(14)$$

식(17) 種今 하면

$$e^{\frac{v_p}{\alpha}} = (v_i + e^f) + c \quad -(15)$$

$t=0$  일 때  $v_i = 0$  이므로

$$\therefore e = \alpha$$

$$e^{\frac{v_p}{\alpha}} = v_i e^{\frac{f}{\alpha}t} + \alpha \quad -(16)$$

$$e^{\frac{v_p}{\alpha}} = \frac{v_i e^{\frac{f}{\alpha}t}}{\alpha} + 1 \quad -(17)$$

$$\frac{v_p}{\alpha} = \ln \left( 1 + \left( \frac{v_i t}{\alpha} \right) \exp \left( \frac{f}{\alpha} t \right) \right) \quad -(18)$$

$$\therefore \bar{F} \equiv d \cdot \ln \left\{ \left( 1 + \frac{v_i t}{\alpha} \right) \exp \left( \frac{f}{\alpha} t \right) \right\} = v_p \quad -(19)$$

여기서  $\bar{F}$ : visco plastic potential 혹은 scalar 函數  
 $t$ : 荷重의 時間에 부터 的時間이다.

식(19)에서  $t$ 를 固定하면

이 式은 有效应力函數에 관계된 曲面을 表하는  $v_p$ 는 소위 Strain硬化彈性彙數로서 作用한다.

따라서 式은 Visco-plastic potential이라고 칭할 수 있는 式이다.

따라서 이函數  $\bar{F}$ 의 어려운 有效应力函數가 되는 尊函數는 visco-plastic 面形이 關係로 決定된다.

그리하여 다음과 같이 很是할 수 있다

$$e^{\frac{v_p}{\alpha}} = 1 + \frac{v_i t}{\alpha} \quad -(20)$$

또 어떤 有效应力 要素에 대한  $\bar{F}$ 의 尊函數와 같은 要素에 대한  $\bar{F}$ 의 尊函數와 같은 要素에 대한  $\bar{F}$ 의 尊函數의 差值은 다음과 같이 表現된다.

$$\frac{\partial \bar{F}}{\partial v_i} = \left\{ 1 - \exp \left( \frac{-v_p}{\alpha} \right) \right\} \frac{\partial f}{\partial v_i} \quad -(21)$$

식(19)로부터 약간의 操作를 하면  $\bar{F}$ 를 求할 수가 있다.

$$\bar{F} = v_p + \text{const}$$

連續塑性 Visco plastic 異形에 대해 흡수를 依용하는

式(20)은 다음과 같이 表现할 수 있다.

$$\dot{\varepsilon}_{ij}^P = \dot{V}^P \cdot (\frac{\partial F}{\partial \sigma_{ij}}) / (\frac{\partial F}{\partial p}) \quad -(22)$$

혹은  $f$ 의 形能率 使用하여

$$\dot{\varepsilon}_{ij}^P = \dot{V}^P \cdot (\frac{\partial f}{\partial \sigma_{ij}}) / (\frac{\partial f}{\partial p}) \quad -(23)$$

여기서  $\dot{V}^P$ 는 다음과 같이 주어진다

$$\begin{aligned} \dot{V}^P = & [1 + \exp(-\frac{V^P}{\alpha})] \cdot \left[ \left( \frac{1-K}{1+e_0} \right) \frac{\dot{P}}{P} + D \cdot \eta^* \right] \\ & + \dot{V}_0 \exp[-(t - t^P)/\alpha] \end{aligned} \quad -(24)$$

一般의 弹性異形을 具有하는 粘土는 다음과 같은 表现할 수 있다.

$$\dot{\varepsilon}_{ij}^e = \frac{k_p}{3(1+e_0)} \delta_{ij} + \frac{1}{2G} \dot{\gamma}_{ij} \quad -(25)$$

最終的으로 全異形率速度는 다음과 같이 表现할 수 있다.

$$\dot{\varepsilon}_{ij} = \dot{\varepsilon}_{ij}^P + \dot{\varepsilon}_{ij}^e \quad -(26)$$

한데 異形率速度 Tensor와 有效応力速度 Tensor에 對应의 미고 線形關係를 依용한다면

$$\dot{\varepsilon}_{ij} = L C^e \delta_{ij} + 2G \dot{\gamma}_{ij}^e \quad -(27),$$

$$= L (V - \dot{V}^P) \delta_{ij} + 2G (\dot{\varepsilon}_{ij} - \dot{\varepsilon}_{ij}^P) \quad -(27)_2$$

여기서  $L$ 와  $G$ : Lame定數,  $\delta_{ij}$ : 單位Tensor이다.

2-1節의 式(15)를 (27)<sub>2</sub>에 대입하여 얻은 比例式를 式(9)에 대입하여 演算을 하면 比例係數  $A$ 는

$$A = \frac{L \frac{\partial F}{\partial P} V + 2G \frac{\partial F}{\partial \sigma_{kk}} \dot{\gamma}_{kk} + \frac{\partial F}{\partial t}}{L \left( \frac{\partial F}{\partial P} \right)^2 + 2G \frac{\partial F}{\partial \sigma_{mn}} \frac{\partial F}{\partial \sigma_{mn}} + \frac{\partial F}{\partial p}} \quad -(28)$$

따라서 構成式의 最終의 表现은 式(15) (2-1節)와 (27)<sub>2</sub>를 合成하여 대입하였으니

$$\begin{aligned}\tilde{\sigma}_{ij}' &= L_i \cdot \delta_{ij} + 2G \varepsilon_{ij} \\ &- \frac{\left( L \frac{\partial F}{\partial p} \delta_{ij} + 2G \frac{\partial F}{\partial \sigma_{ii}} \right) \left( L \frac{\partial F}{\partial p} \dot{v} + 2G \frac{\partial F}{\partial \sigma_{ii}} \dot{\epsilon}_{ii} + \frac{\partial F}{\partial t} \right)}{L \left( \frac{\partial F}{\partial p} \right)^2 + 2G \frac{\partial F}{\partial \sigma_{ii}} \frac{\partial F}{\partial \sigma_{mm'}} + \frac{\partial F}{\partial p}} \quad -(29)\end{aligned}$$

이式을 실제로 使用할 때는粘塑性 potential의 有効応力成分 및  
経過時間에 관한 偏微係数의 具体的表現이必要하기 때문에  
이를 偏微係数로 表한 후 式(19)의 f函數와 同聯繫하면 便利하다.  
是若干의 演算 후 式(19)를 使用하여 경과시간 차를 消去하면  
偏微係数로

$$\frac{\partial F}{\partial \sigma_{ii}} = [1 - \exp(-\frac{v^p}{\alpha})] \frac{\partial f}{\partial \sigma_{ii}}, \quad -(30)$$

$$\frac{\partial F}{\partial t} = L \cdot \exp\left(\frac{t-v^p}{\alpha}\right) \quad -(31)$$

또 偏微係数  $\frac{\partial F}{\partial p}$ 가 대체여는 式(28)을 简便화하는 很方便에서  
다음과 같이 채택되는 것을 보통하였다.

$$\frac{\partial F}{\partial p} = \frac{\partial F}{\partial \sigma_{ii}} + \frac{\partial F}{\partial \sigma_{ij}} + \frac{\partial F}{\partial \sigma_{zz}} \quad -(32)$$

式(29)~(32)은 2次元 平面應變場 條件(2次元 平面拘束)으로 具体적으로  
表하고자 한다.

$$\begin{cases} \tilde{\sigma}_{xx}' \\ \tilde{\sigma}_{yy}' \\ \tilde{\sigma}_{zz}' \\ \tilde{\sigma}_{xy}' \end{cases} = \left\{ \begin{bmatrix} L+2G & L & 0 \\ L & L+2G & 0 \\ L & L & 0 \\ 0 & 0 & L \end{bmatrix} - \frac{C_3}{C_4} \begin{bmatrix} C_1^2 & C_1 C_2 & 2G f_{xy} C_1 \\ C_1 C_2 & C_2^2 & 2G f_{xy} C_2 \\ C_1 C_3 & C_2 C_3 & 2G f_{xy} C_3 \\ 2G f_{xy} C_1 & 2G f_{xy} C_2 & 4G^2 f_{xy}^2 \end{bmatrix} \right\} \begin{bmatrix} \dot{\epsilon}_{xx} \\ \dot{\epsilon}_{yy} \\ \dot{\epsilon}_{xy} \end{bmatrix} - \frac{C_6}{C_4} \begin{bmatrix} C_1 \\ C_2 \\ C_3 \\ 2G f_{xy} \end{bmatrix} \quad -(33)$$

또 這式에 使用한 記号는 아래와 같다.

$$f_{xy} = \frac{\partial f}{\partial \sigma_{xy}}$$

$$C_1 = L \frac{\partial f}{\partial p} + 2G \frac{\partial f}{\partial \sigma_{xx'}}$$

$$C_2 = L \frac{\partial f}{\partial p} + 2G \frac{\partial f}{\partial \sigma_{yy'}}$$

$$C_3 = L \frac{\partial f}{\partial p} + 2G \frac{\partial f}{\partial \sigma_{zz'}}$$

$$C_4 = \left[ L \left( \frac{\partial f}{\partial p} \right)^2 + 2G \left( \frac{\partial f}{\partial \sigma_{xx'}} \right)^2 + \left( \frac{\partial f}{\partial \sigma_{yy'}} \right)^2 + \left( \frac{\partial f}{\partial \sigma_{zz'}} \right)^2 + 2 \left( \frac{\partial f}{\partial \sigma_{xy'}} \right)^2 \right] C_5 + \frac{\partial f}{\partial p}$$

$$C_5 = 1 - \exp \left( - \frac{v_p}{\alpha} \right)$$

$$C_6 = \frac{\partial F}{\partial t} = v_0 \exp \left( \frac{t - v_p}{\alpha} \right)$$

다면 函數  $f$ 의 有効应力成分에 관한 偏微係数는

$$\frac{\partial f}{\partial \sigma_{ij'}} = \frac{D}{3p} \left\{ \frac{\lambda - K}{D(1+e_0)} - \eta^* \right\} \delta_{ij} + \frac{3}{2} \frac{D}{P} \frac{s_{ij}}{q_s}$$

$$\frac{\partial f}{\partial p} = \frac{D}{P} \left\{ \frac{\lambda - K}{D(1+e_0)} - \eta^* \right\}$$

Lame 等數  $L$ ,  $G$ 이 대체로는 종래의 弱點結果를 參考로 하여 다음式으로 變動하는 土性等數로 보인다.

$$\begin{aligned} L &= \frac{P(1+e_0)}{K} - \frac{2}{3} G \\ G &= G_0 \exp \left( - \frac{e - e_0}{\lambda} \right) \end{aligned} \quad (34)$$

여기서  $G_0$ 은 初期剛性率이다.

彈粘塑性構成式 (3)의 特殊한 경우, 即ち 粘土의 Creep特性을 無視할 때에는 2次屈服指數  $\eta = 0$  및  $\frac{\partial F}{\partial t} = 0$ 로 解석된다.

$C_5 = 1$  및  $C_6 = 0$ 로 하면 式 (3)은 弹塑性構成式에 돌아간다.

이 경우函數  $f$ 는 original Cam-clay model에서의 相似性 potential函數와 等值이고  $f = v_p$ 로 되는 1st偏微分은 等方硬化降伏條件를 주어 된다. 또 弹塑性構成式에서의 構成式과 일치해지기,  $v_p = 0$  및  $\frac{\partial f}{\partial t} = 0$ 로 解석하여  $C_5 = 0$  및  $C_6 = 0$ 으로 하면 좋다.

### 3. 压密解析与有限要素式

彈粘塑性 model 을 사용한 有限要素式 을 plain strain 조건에서 다음과 같이 유도한다.

변위 증분  $\Delta u_x$ ,  $\Delta u_y$  을 成分으로 하는 Vector  $(\Delta u)$ 로 表示 하며,  
平衡方程式을 반죽하는 全应力 증분  $\{\Delta \sigma\}^T = \{\Delta \sigma_{xx} \Delta \sigma_{yy} \Delta \tau_{xy}\}$ 에 대해  
假想일의 原理를 이용하면

여기서,

$$\{\Delta \bar{E}\} : \{\Delta E_x, \Delta E_y, \Delta Y_{xy}\}$$

$$\{ \Delta f' \} = \{ \Delta f_x' \Delta f_y' \Delta f_{xy}' \}$$

$$\{ \Delta P_w \}^T : \{ \Delta P_w \quad \Delta P_w \quad 0 \}$$

$\{dF_b\}$ : 物体力 增分 Vector.

$\{ \Delta T_s \}$  : 表面力 增分 Vector.

要素내의 任意 處에서 变位 增分  $\Delta u_i$  는 節変位 增分  $\Delta u^*_i$  으로  
부터 形狀函數  $[N]$  을 이용하여 다음과 같이 表現 한다.

위식에 대응해서 要素내의 任意의 点의 变形率 增分  $\Delta\epsilon$  과 体積变形率  
増分  $\Delta V$ 는 節点変位増分과 관계 시킬수 있다.

一般的인 과잉간극수압  $\nabla \text{Vector } \{\Delta P_w\}$  는 要素 内의 中心의 과잉간극수압 增分值  $\Delta P_w^*$  을 利用하여 增分

有効応力増分  $\{ \Delta \sigma' \}$  와 变形率 増分  $\{ \Delta \epsilon \}$  을 다음과 같이 관계 시킬 수 있다.

여기서  $\{Dept\}$  : 3 行 3 列의 대체 $\{\text{행}\}$  이며

### 彈粘塑性係數

$\{\Delta F^r\}$ : 緩和応力増分 Vector

式(2)~(6)을 小式의 대입하고 仮想变位를 任意로 선택한 것을 选择할

$$\{K\}\{4u^*\} + \{Ku\}\{4p_w^*\} = \{4Q\} \quad \dots \quad (7)$$

$$M_{\text{eff}} = \int_V \{B\}^T \{D_{\text{eff}}\} \{B\} dV \quad (8)$$

$$\{K_u\} = \int_0^u f(B_v) dv \quad (9)$$

$$\{ \mathbf{f}(\mathbf{Q}) \} = \int_0^t \{ \mathbf{N} \}^T \{ \Delta \bar{\mathbf{F}}_B \} du + \int_s^t \{ \mathbf{N} \}^T \{ \Delta \bar{\mathbf{T}}_S \} ds + \int_0^t \{ \mathbf{B} \}^T \{ \Delta \bar{\mathbf{F}}^r \} du . \quad \dots \quad (10)$$

다음은 연립방정식의 해를 생각해 보연

평액에 의하면 要素內의 体積變化는  
다음과 같다.

$$\Delta V = \{k_v\}^T \{\Delta u^x\} - \dots \quad (12)$$

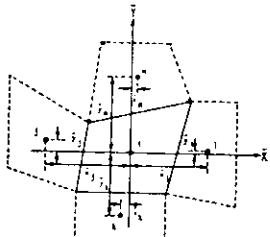


Fig. 4 Local co-ordinate used in evaluating rate of flow.

(1) 式에서 계산된 체적변화량은

(12) 式의 代入하면 (1) 式과 (12) 式은

$S_{\text{out}}$  와  $P_w^*$ 을 미지수로 한 혼합방정식을 만든다.

그리하여 이는 계산하고 壓密進行 과정에 따라서 단계적으로 연립방정식을 풀면 壓密解를 얻을 수 있다.

方程式 (11)을 차분법에 의해 풀기 위해서 (13)식의  
의해서 정의 되는 케팅간극 수압  $P_w$ 는 Christian and  
Boehmer (1970)에 의해서 다음 (14)식과 같이 주어졌다.

$$P_w^* = d_1 + d_2x + d_3y + d_4x^2 + d_5y^2 \quad \dots \quad (14)$$

여기서  $P_{wt} : t = t$  일때 과이 가족 수인.

$P_{wt+at} : t = t + at$  일 때 과잉감소수율

$\theta$  ( $0 \leq \theta \leq 1$ ) : 차운 근사상수.

$\alpha_1, \alpha_2, \alpha_3, \alpha_4, \alpha_5$  같은 그림에서와 같이 사변형 **要素**  $i$  와 이 **要素**을 둘러싸고 있는  $j, k, l, m$ 의 **要素**에 의해서 결정 되어야 하는 미정계수이다.

요소  $p_{\alpha}$ 의 광간극 수입 Vector  $\{p_{\alpha}^*\}$ 는 다음과 같다.

$$\left\{ \begin{array}{l} P_{w_1}^* \\ P_{w_2}^* \\ P_{w_3}^* \\ P_{w_4}^* \\ P_{w_5}^* \\ P_{w_6}^* \end{array} \right\} = \left[ \begin{array}{cccc} 1 & 0 & 0 & 0 \\ 1 & \bar{x}_1 & \bar{y}_1 & \bar{x}_1^* & \bar{y}_1^* \\ 1 & \bar{x}_2 & \bar{y}_2 & \bar{x}_2^* & \bar{y}_2^* \\ 1 & \bar{x}_3 & \bar{y}_3 & \bar{x}_3^* & \bar{y}_3^* \\ 1 & \bar{x}_4 & \bar{y}_4 & \bar{x}_4^* & \bar{y}_4^* \\ 1 & \bar{x}_5 & \bar{y}_5 & \bar{x}_5^* & \bar{y}_5^* \end{array} \right] = B\alpha \quad \dots \quad (15)$$

(14) 式을 (11) 式에 대입하고 (16) 式을 고려하면, 다음 式을 얻을 수 있다.

$$\begin{aligned}\Delta V &= -\frac{\Delta t V}{T_w} (2k_x d_4 + 2k_y d_5) \\ &= -\frac{2\Delta t V}{T_w} (k_x b_4^T + k_y b_5^T) P_w^* \\ &= -\{k_V\}^T \{P_w^*\}\end{aligned}\quad \dots \quad (17)$$

$$[k_1] = [kv]^T = \left( \frac{2av}{\gamma_w} \right) (k_x b_4 + k_y b_5)$$

at : 시간 충분량.

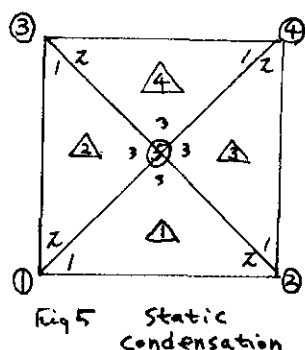
## V : 요소체적

$b_4, b_5 \in B^{-1}$  의 4행과 5행 Vector.

$\Delta P_w = P_{wt} + st - P_{wt}$  의 관계를 사용하고 (13)式에서  $\theta$ 의 값을 (17)式에 (12)식의 대입하여 변형하면 다음 式을 얻는다.

$$\left. \begin{aligned} \{k\}\{4U^*\}_j + \{k_V\}P_{Wj}^* &= [AQ]_j + [k_V]P_{Wj-1}^* \\ \{k_V\}^T\{4U^*\}_j &= -\{k_V\}^TP_{Wj-1}^* \end{aligned} \right\} \dots \dots \dots \quad (18)$$

여기서 요구되는 것은 사변형 요소이고 수치해석 과정에서 4개의 삼각형 요소로 이루어진 4변형 요소는 Wilson (1965) 이 제안한 方法에 의해서 Quadrilateral element 를 다음과 같이 static condensation 한다.



$$\{K\}\{q\} = \{Q\} \quad \dots \dots \dots \quad (19)$$

$$\begin{Bmatrix} [K_{pp}] & [K_{ip}] \\ [K_{ip}]^T & [K_{ii}] \end{Bmatrix} \begin{Bmatrix} q_p \\ q_i \end{Bmatrix} = \begin{Bmatrix} Q_p \\ Q_i \end{Bmatrix} \quad \dots \dots \dots \quad (20)$$

(20) 式에서  $\{q_i\}$  을 구하면

$$\{q_i\} = \{K_{ii}\}^{-1} \{Q_i\} - \{K_{ip}\}^T \{q_p\} \quad \dots \dots \dots \quad (21)$$

(21) 式을 (20) 式에 代入하면

$$\{[K_{pp}] - [K_{ip}][K_{ii}]^{-1}[K_{ip}]^T\}\{q_p\} = \{Q_p\} - \{K_{ip}\}\{K_{ii}\}^{-1}\{Q_i\} \quad \dots \dots \dots \quad (22)$$

$$\{\bar{K}\}\{q_p\} = \{Q\} \quad \dots \dots \dots \quad (23)$$

이와 같은 방법을 使用하여 사변형 요소의 중앙 절점은 소거되고 응력이나 과잉간극 수압은 1개의 사변형 요소안에서는 항상 일정한 값이 된다.

## 4 有限要素法에 의한 压密解析의 適用例.

여기서는 压密解析의 適用例로써 弹塑性理論 弹粘塑性의 压密解析 을 施行하여 그結果를 소개하고 앞으로의 研究方向을 記述하였다.

### 4.1 試験盛土의 解析에 의한 例

本解析의 相較를 알아보기 위하여 France et Dubzac-Les-ponts の 試験盛土에 逐側간 結果를, Sandhu-Wilson 方法과 Christian-Boehmer 方法에 의한 解析의 結果와 대비사할을比較하였다.

i) 盛土中央部의 地下水 向流地下水.

ii) 盛土表面을 部分의 侧向荷重.

iii) 截荷荷重 1000 kN의 경우.

또 Christian-Boehmer 方法에 의하여 盛土母地排水條件 .

排水條件를 使用하여 위의 例를 比較하였다.

마지막으로 mesh를 使用한 경우와 使用하지 않는 경우의 1) - 한 事例는 비교기준으로 解析에 使用한 土塊數와 FEM Grid를 명시한다.

Table-3 계산에 사용한 토질정수

증	入	K	M	$C_0$	$G_0$	V	$T'_{VC}$	$K_{oc}$	$T'_{vo}$	$K_o$	$e_o$	$\gamma_t$	$V_o$	入K	$K_{no}$	$K_{yo}$
1	0.5	0.005	1.2	0.0000	535.2	0.4	85.60	0.5	5.14	0.5	2.00	2.14	0.0	0.005	1.0	1.0
2	0.12	0.017	1.2	0.0012	94.8	0.4	8.00	0.5	2.37	0.5	1.00	1.73	$1.0E-5$	0.12	$2.6E-4$	$0.864E-4$
3	0.53	0.022	1.2	0.0033	170.4	0.4	6.94	0.5	3.05	0.5	2.60	1.63	$1.0E-5$	0.53	$2.6E-4$	$0.864E-4$
4	0.75	0.085	1.2	0.0055	42.8	0.4	4.67	0.5	3.80	0.5	3.22	1.43	$1.0E-5$	0.75	$2.6E-4$	$0.864E-4$
5	0.53	0.048	1.2	0.0033	68.3	0.4	5.18	0.5	4.76	0.5	2.24	1.53	$1.0E-5$	0.53	$2.6E-4$	$0.864E-4$
6	0.52	0.039	1.2	0.0032	107.1	0.4	6.20	0.5	5.82	0.5	2.31	1.53	$1.0E-5$	0.52	$2.6E-4$	$0.864E-4$
성도	0.52	0.048	1.2	0.0032	105.0	0.4	7.63	0.5	6.64	0.5	2.20	1.58	$1.0E-5$	0.52	$2.6E-4$	$0.864E-4$

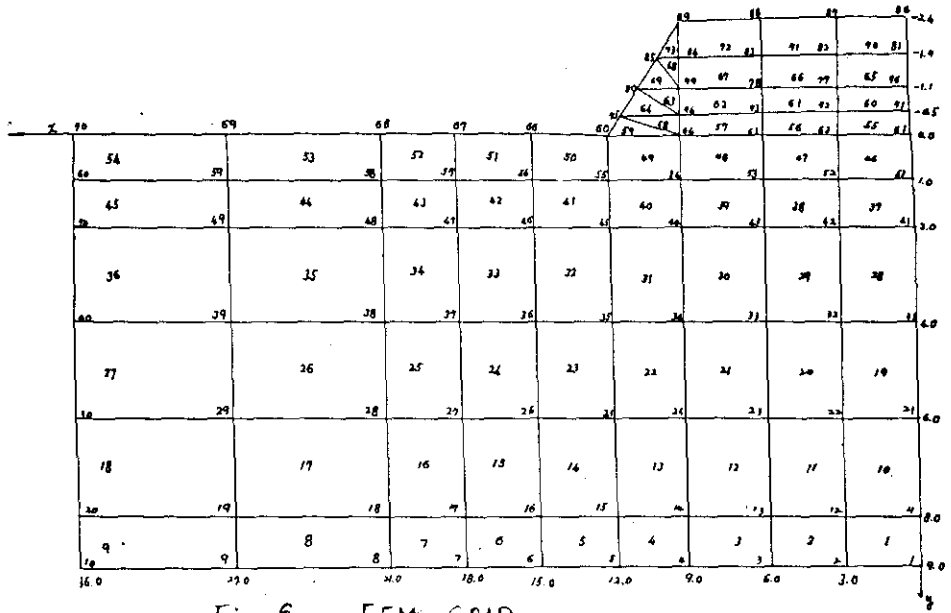


Fig. 6 FEM GRID

#### 4.1.1 S.W 과 C.B 터치의 비교結果 .

수평변위에 있어서 S.W과 C.B 방법은 둘다 실측치와 큰 차이를 나타낸다.  
이 같은 것은 mesh를 사용하지 않아 큰 차이를 가져온다.  
수직변위에서는 두방법 모두 실측치에 접근하나 S.W방법이 더 접근하고,  
과잉간극 수압에 있어서도 큰 차이를 나타낸다.

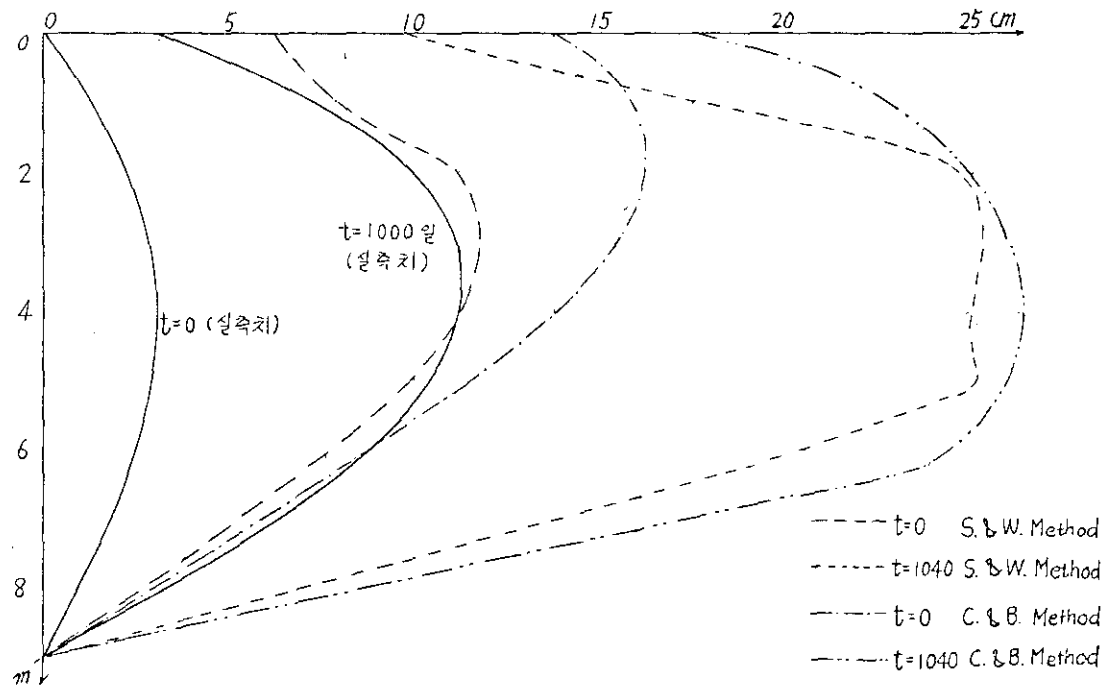
#### 4.1.2. 성토지 배수조건과 배수수 조건의 비교.

수평변위에 있어서는 두방법 모두 실측치에 가까우나 수직변위와 과잉간극 수압에 있어서는 실측치와 상당한 차이를 갖는다. 배수수 조건이 실측치에 더 접근한다.

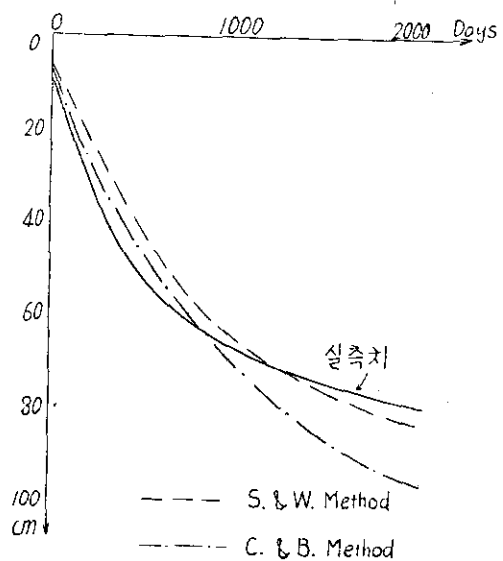
#### 4.1.3. 성토 Mesh을 사용한 경우와 사용하지 않은 경우.

성토 mesh을 사용한 경우는 실측치에 거의 근접하는데 사용하지 않은 경우는 실측치와 상당한 차이를 갖는다.

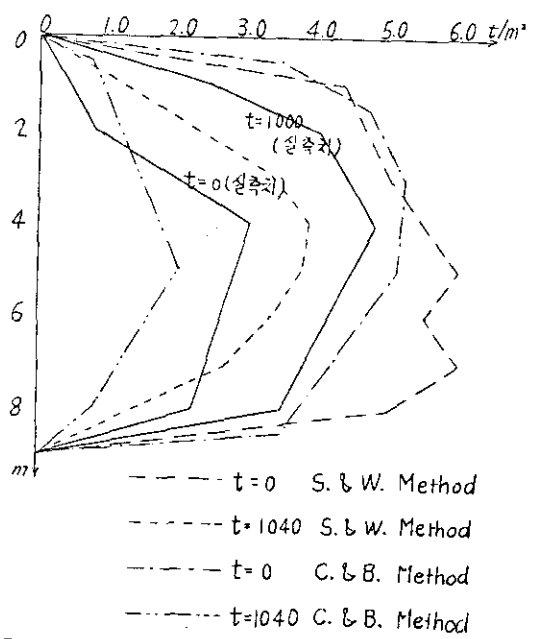
수평변위(성토 끝부분)



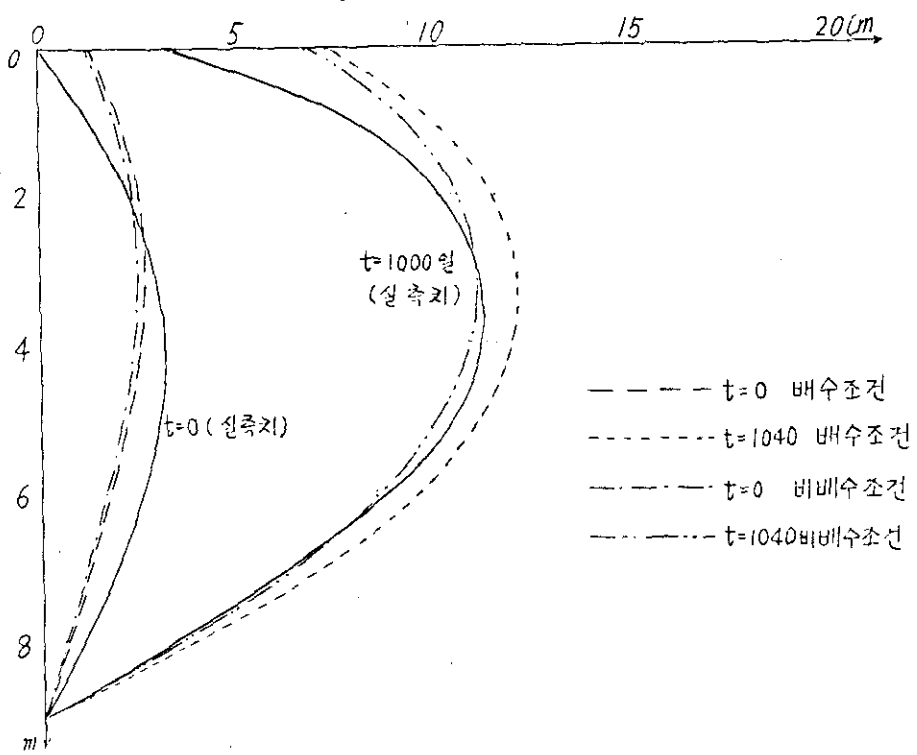
수직변위(성토중앙부)



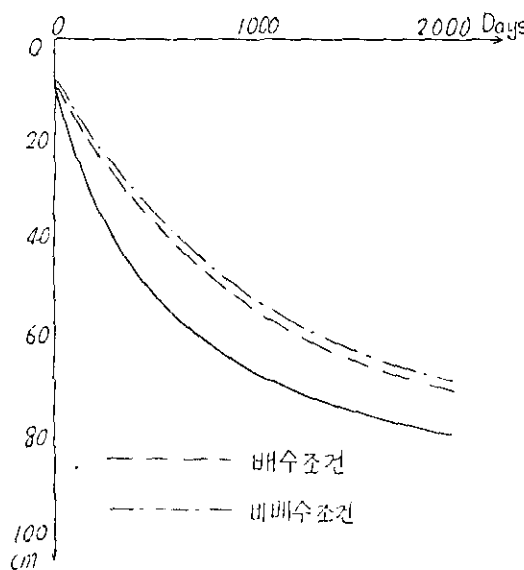
파임간극수압(성토중앙부)



수평변위(성토 끝부분)



수직변위(성토중앙부)



파ing 간극수압(성토중앙부)

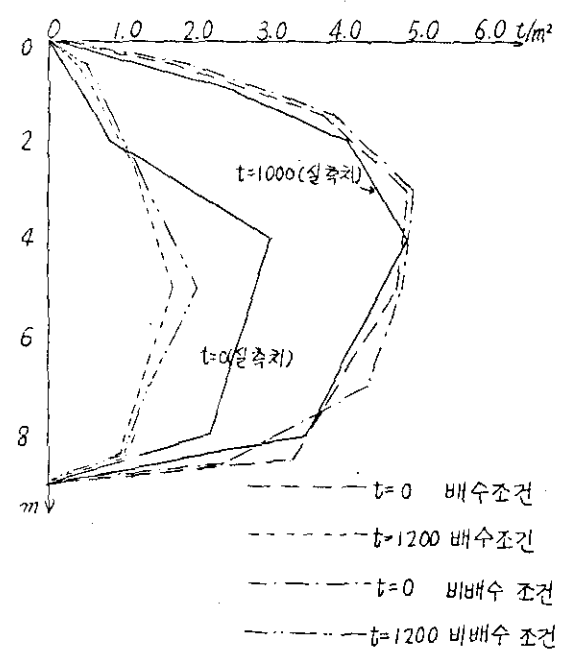
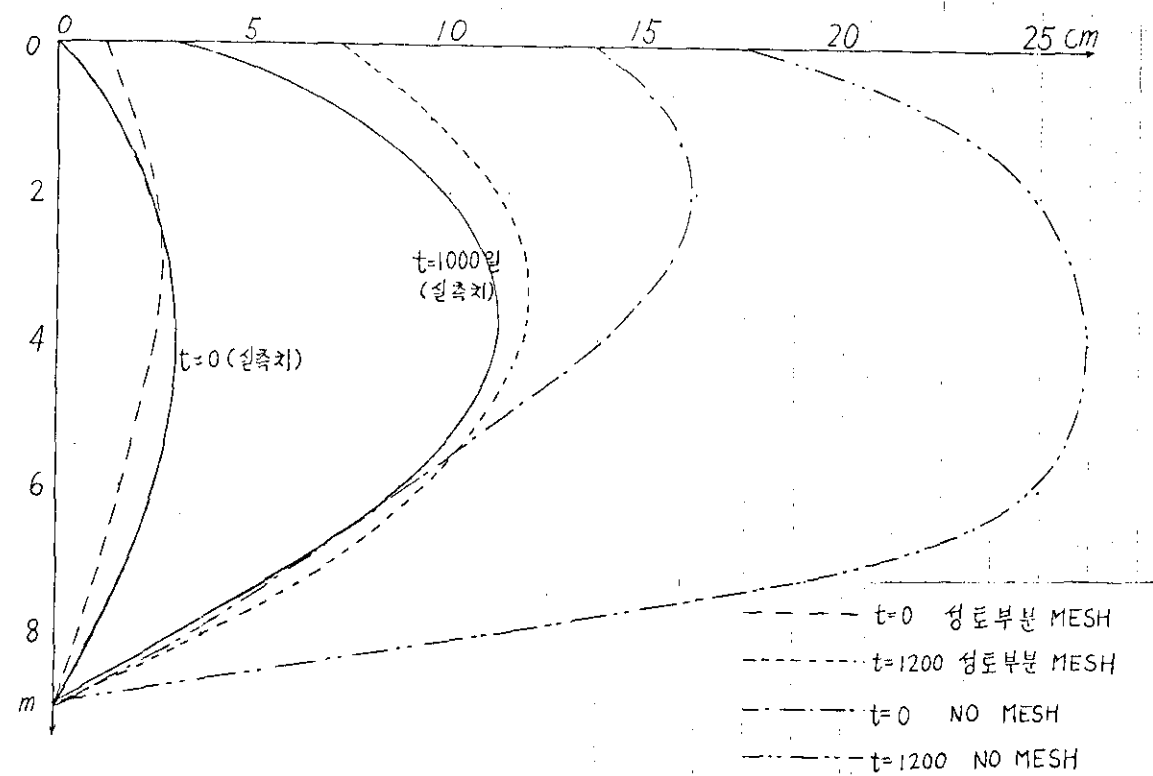
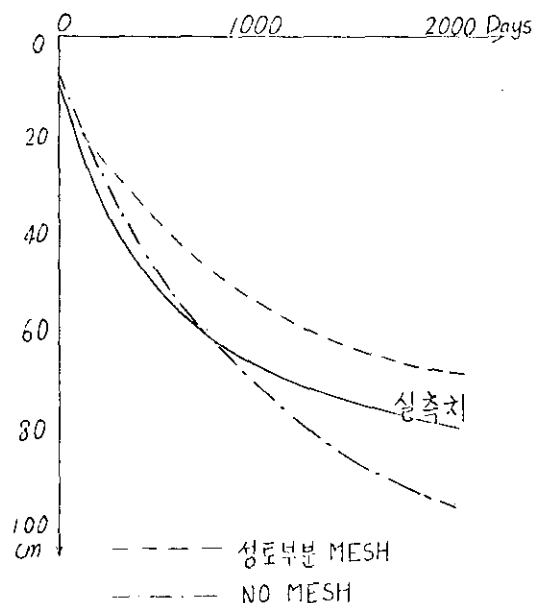


Fig 8

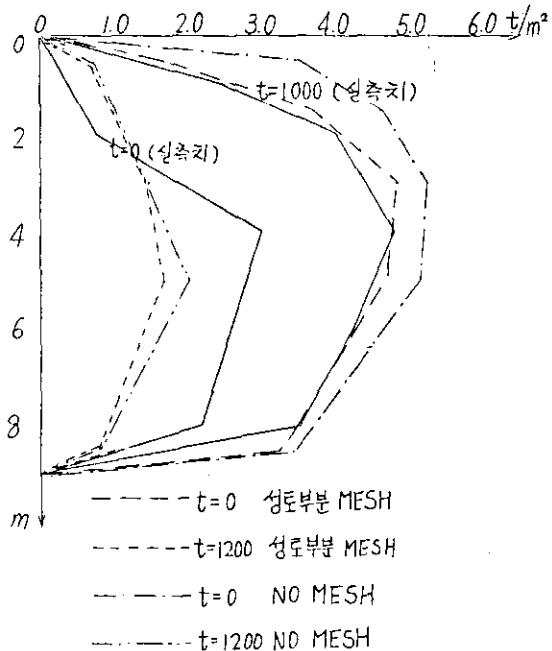
수령변위(성토 끝 부분)



수직변위(성토 중앙부)



파인간극수압(성토중앙부)



## 4.2. Sheet pile 의한 軟弱地盤 补強.

Sheet-pile 을 粘土 地盤 中에 설치 하였을 때 그 영향을 알아보기 위해서 Sheet-pile 을 설치하지 않은 경우와 설치하였을 경우 Joint Element 를 使用 했을 경우 와 사용하지 않은 경우의 차이를  
지표면 흡수 및 층방변위, 구조지지력 등을 비교하였다.

여기서 사용한 도질정수와 FEM Grid 는 다음과 같다.

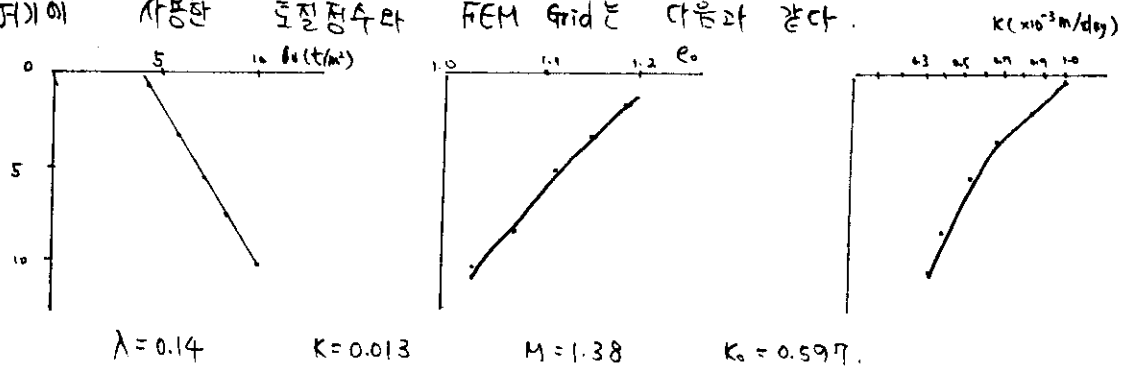


Fig.10. Material parameter used.

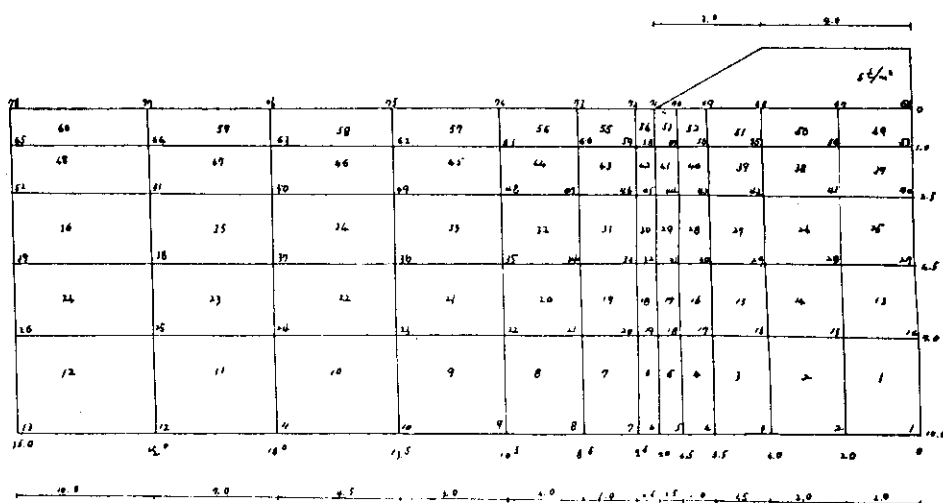


Fig 11. FEM Grid

#### 4.2.1. 지표면 침하 및 측방면위 비교.

(7) Fig 13 은 각각 비배수 상태에서 재하하는 경우 순성도, 矢板 타설, Joint Element 를 삽입한 矢板 타설시의 침하와 측방면위를 나타낸 것이다. Fig 12 는 소정의 전도하중을 재하직후(非排水) 와 压密完了時 ( $t=10^4$  day) 의 地表面 沈下와 矢板 部에서의 측방면위를 비교하여 나타낸 것이다. 재하 직후에는 순성도가 대체로 큰 침하를 나타내고 압밀완료시는 Joint Element 를 사용했을 경우가 침하가 크게 나타난다. 矢板 部에서의 復方変位는 Joint Element 를 이용하는 경우에 변화가 크게 나타나고 있다.

#### 4.2.2. 극한 지지력 비교.

- 地盤의 극한지지력은 ① 盛土荷重 과 盛土斜面 끝의 扭平變形의 비교에서 검토하는 방법과 ② 沈下-荷重曲線에서 구하는 통상의 방법으로 검토하고 있다.
- 극한 지지력은 矢板 을 사용하는 경우 더 크고 사용하지 않은 경우가 작으며 Joint Element 를 넣어 해석한 결과는 이 중간에 들어간다. 이것은 Joint Element 를 고려하지 않고 해석하는 결과는 실제보다 위험족이라는 것을 의미한다.

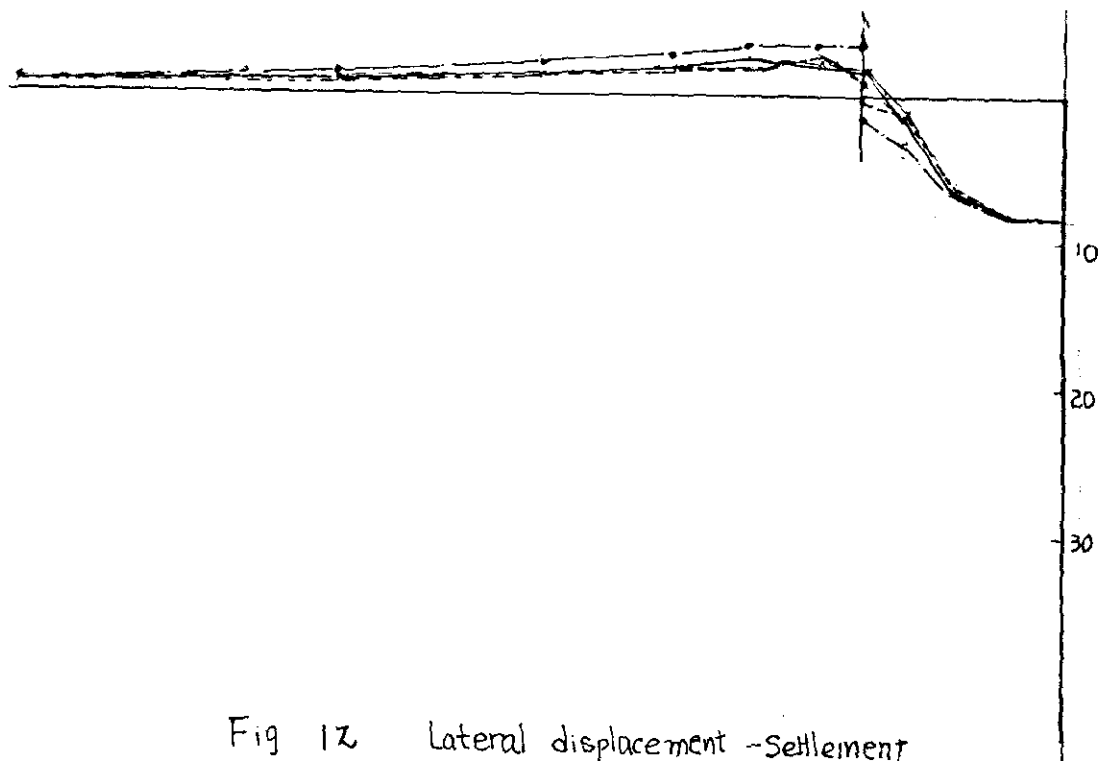
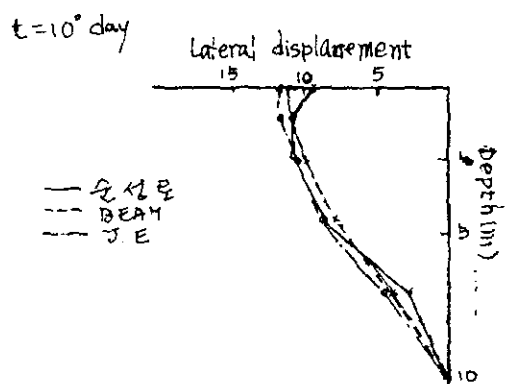


Fig 12 Lateral displacement -Settlement

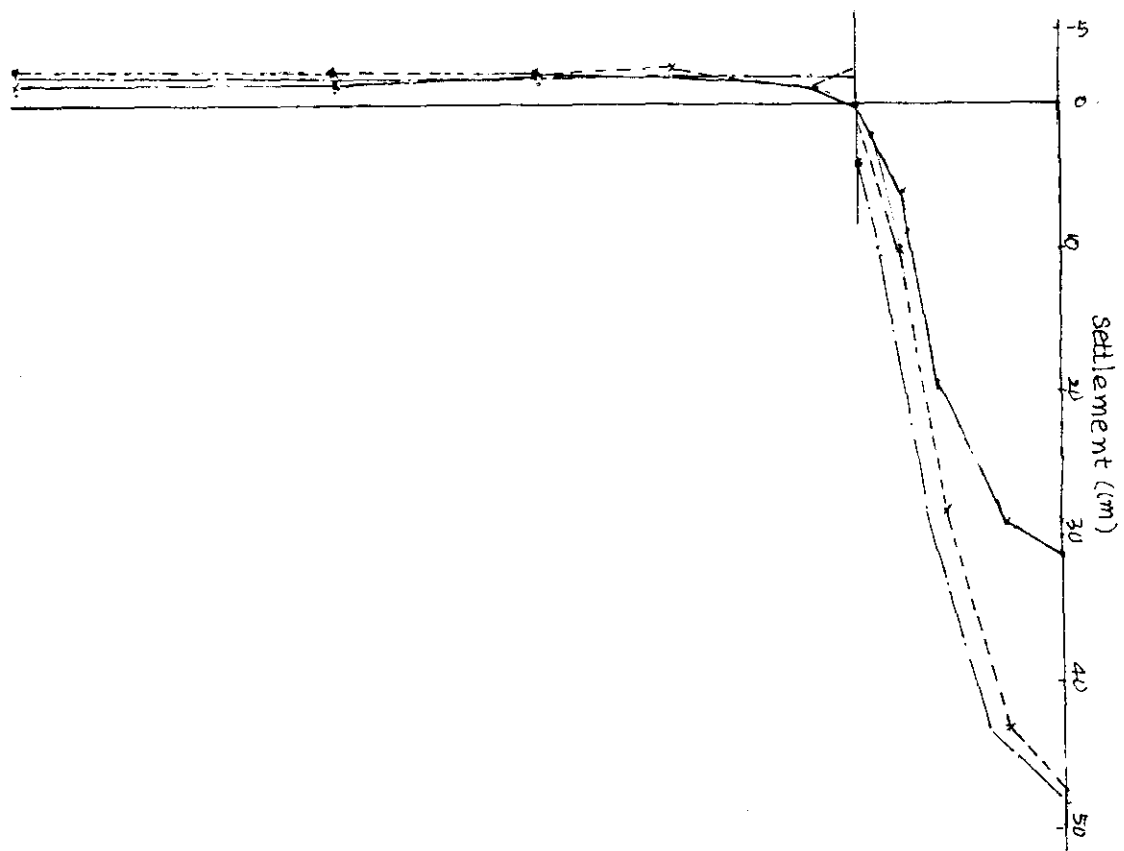
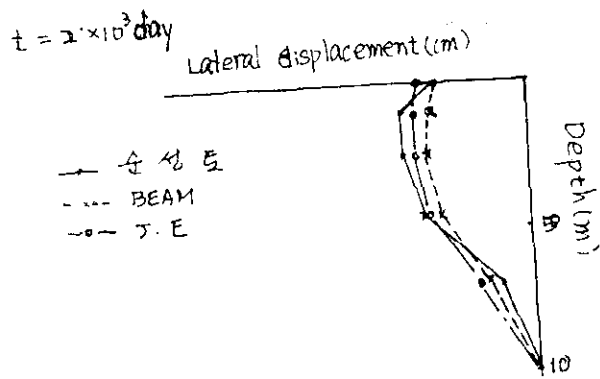


Fig 13 Lateral displacement - Settlement

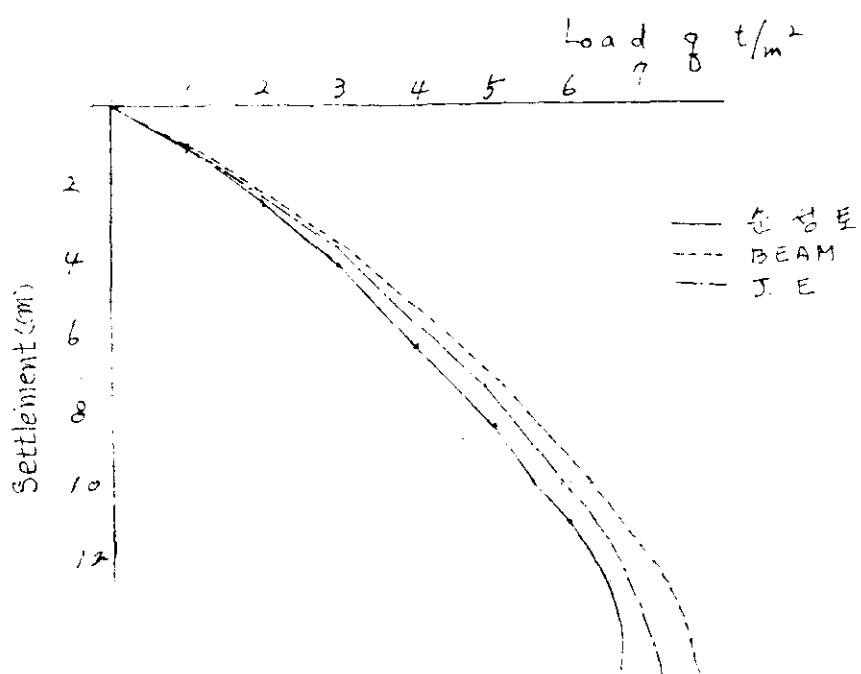


Fig 14 Load - Settlement Curve

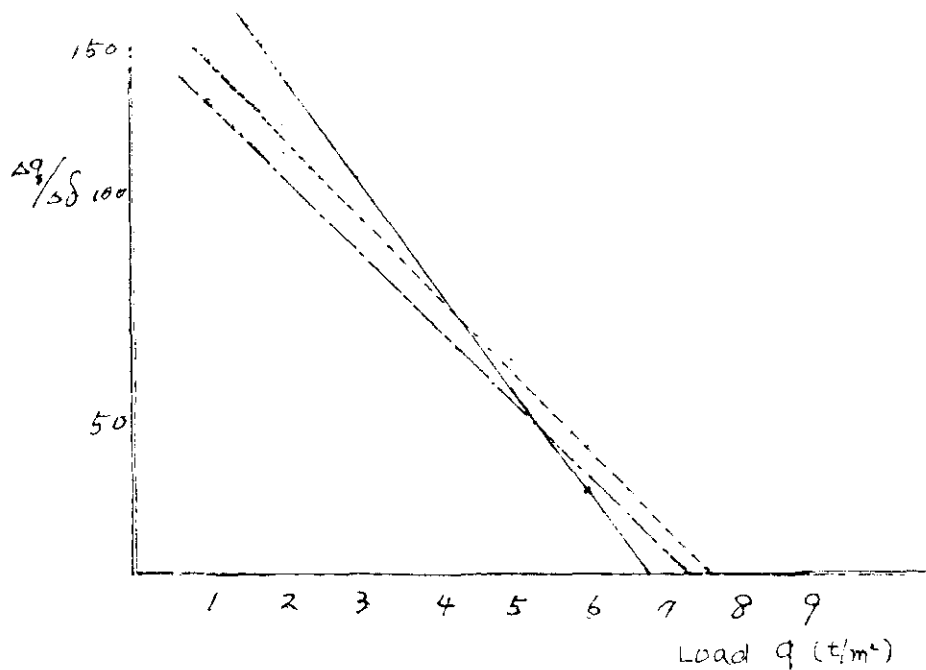


Fig. 15. Lateral displacement - load relationship.

### 4.3. 研究方向 및 展望

以上과 같이 多次压密의 數值解析에 관해서 고찰하여 보았다.  
이제 解析의 단계를 지나서 应用할이 있어서

本 技法은

- 사면안정
- 복합지반의 지지력 추정 ( Sand drain .  
Sand compaction pile . )

· Tunnel 의 흙학문제

등에 사용하면 좋은 결과를 얻을 것으로 확신하는 바이다.

## < REFERENCES >

Atkison, J.H. and Bransby, P.L (1978): "The mechanics of soils. An introduction to critical state soil mechanics," McGraw-Hill.

Biot, M.A. (1941): "General of deformation of three-dimensional consolidation". Journal of applied physics, Vol. 12, pp. 155-164.

Biot, M. A. (1941): "General of deformation of three-dimensional consolidation". Journal of applied physics, Vol. 26, pp. 182 ~ 185.

Biot, M. A. (1956): "General solution of equations of elasticity and consolidation for a porous material," Journal of applied mechanics.

Biot, M. A.: "Theory of deformation of a porous visco-elastic anisotropic solid". Journal of applied physics, Vol. 27, pp. 240-253.

Booker, J.R.; Carter, J.P. and Small, J.C. (1976). "An efficient method of analysis for the drained and undrained behaviour of an elastic soil". International journal of solids and structures, Vol. 12, pp. 589-599.

Booker, J. R. and Small, J.C. (1975): "The economical solution of elastic problems for a range of poisson's ratio." International journal for numerical methods in engineering, Vol. 9. pp. 847-853.

Booker, J.R. and Small, J.C (1975): "An investigation of the stability of numerical solutions of Biot's equations of consolidation". International journal of solids and structures, Vol. 11, pp. 907 - 917.

Burland, J.B (1965) : "The yielding dilation of clay". correspondence, geotechnique . Vol. 15. pp. 211~214.

Christian, J.T and Boehmer, J.W. (1970) : "Plane strain consolidation by finite elements". Journal of the soil mechanics and foundation division, ASCE , No. 96. SM4, July 1970, pp. 1435-1457

Christian, J.T (1968) : "Undrained stress distributions by numerical method". Journal of the soil mechanics and foundations division, ASCE , NO. SM 6. Nov. 1968, pp. 1333 - 1344.

Cryer, L.W. (1963) : "A comparison of the three-dimensional consolidation theories of Biot and Terzaghi". Mech. and Appl. Math

Hwang, C.T., Morgenstern, N.R. and Murray, D.W. (1971) : "On solutions of plane strain consolidation problems by finite element methods", Canadian Geotechnical Journal , 8, No.1. pp. 109 - 118 .

Kochi AKAI and Takeshi TAMURA : "Numerical Analysis of multi-dimensional consolidation accompanied with elasto-plastic constitutive equation."

日本土木学会論文報告集 Vol 269. pp. 95-104. 1978.

Mandel, J. (1953) : "Consolidation des sols (etude mathematique)".  
Geotechnique , Vol .III , pp. 287-299.

Matsuji, T and N. Abe (1981) : "Multi-dimensional elasto-plastic consolidation analysis by finite element methods . soils and founds. Vol. 21. No.1. pp. 79-95.

Naghdi, P.M. (1960): "Stress-strain relations in plasticity and thermoplasticity," proc. 2nd symposium on Naval structure Mechanics, pergammon press. pp. 121-169.

Ohta, H. and Hata, S. (1971): "On the state surface of anisotropically consolidated clays," proc. of JSCE, No. 196. Dec. pp. 117-124.

Ohta, H., Yoshitan, S. and Hata, S. (1975): "Anisotropic stress-strain relationship of clay and its application to finite element analysis," soils and foundations, Vol. 15, No. 4, pp. 61-78.

Ohta, H. and Sekiguchi, H. (1979): "Constitutive equations considering anisotropy and stress reorientation in clay," proc. 3rd Int. Conf. Numerical methods in geomechanics, Aachen, pp. 475-484.

Roscoe, K.H. and Burland, J.B (1968): "On the generalized stress-strain behaviour of 'wet' clay," Engineering plasticity, Cambridge Univ. press. pp. 535-609.

Roscoe, K.H. Schofield, A.N. (1963): "Mechanical behaviour of an idealized 'wet' clay," proc. 2nd European Conf. Soil Mech., Wiebaden, Vol. I, pp. 47-54.

Roscoe, K.H. Schofield, A.N. and Thrairajah, A. (1963): "Yielding of clays in states wetter than critical," geotechnique, Vol. 13. pp. 211-240.

Sandhu, R.S., and Wilson, E.L (1969): "Finite element analysis of Seepage in elastic media," J. Eng. Mech. division. ASCE, Vol 95. No. EM 3 pp. 641-652.

Sandhu, R.S (1976) : "Variational principles for finite element Analysis of consolidation . ASCE , Numerical methods in geomechanics . Vol. 1 . pp. 20-40

Sandhu, R.S (1982) : "Finite element analysis of coupled deformation and fluid flow in Porous Media , Numerical methods in geomechanics . , Proceedings of NATO Advanced Study Inst. pp 203 - 217

Schofield, A.N. and Wroth, C.P (1968) : "Critical state soil mechanics." Mc Graw-Hill Book Co. Ltd. London, England.

Sekiguchi, H. and Ohta, H (1977) : "Induced anisotropy and time dependency in clays," proc. speciality session 9, 9th ICSMFE, Tokyo. pp. 229-238 .

Siriwardane, H.J and Desai, C.S (1981) : "Two numerical schemes for nonlinear consolidation , Int. J. Numer. Anal. Methods Engrg. Vol. 17, pp 405- 426

Shibata, T and Sekiguchi, H. (1980) : "A method of predicting failure of embankment foundation based on elasto - viscoplastic analysis." 日本土木学会論文報告集 Vol. 301. pp. 93-104.

Shibata, T. (1963) : "On the volume change of normally consolidated clay," disaster prevention research institute, Kyoto Univ., Annals No. 6, PP.128-134.

Yamaguchi, H. and Y, Murakami (1978) : "Some analytical results of a plane strain consolidation problem of a clay layer with finite thickness , soils and foundations." Vol 18. No.1. pp 98-104.

Yokoo, Y., K. Yamagata and H. Nagaoka (1971) : "Finite element method applied to Biot's consolidation theory, soils and founds., Vol. II, pp. 29-46

Yong, R.N. and Japp, R.O (1969) : "Stress-strain behaviour of clays in dynamic comperrison," Vibrational effects on earthquakes on soils and foundations, ASTM, STP, 450, pp. 233-262.

Yoshikumi, H (1973) : "Multi-dimensional consolidation theory and its application to axial symmetric case. Ph thesis Hiroshima Univ.

Zienkiewicz, O.C and D.J. Noyler : "The adoption of critiral state soil mechanics theory for use in finite elements, stress-strain behavior of soils, 1971.

柴田徹, 窪口秀雄 (1980) : "盛土基礎地盤の彈粘塑性挙動解析と破壊予測, 土木学会論文集, 30号, pp 93-104.

鄭 鎮燮 (1983) : "飽和粘土의応力-變形率에 관한研究."